Applicazioni dell'elastografia nella Pneumologia Interventistica

Gian Piero Bandelli Piero Candoli

Da tempo immemore i medici hanno studiato i cambiamenti delle proprietà dei tessuti dei propri pazienti attraverso l'esame obiettivo e la palpazione diagnostica, questo in quanto mutamenti nella meccanica dei tessuti possono sottendere a processi patologici; questi cambiamenti tessutali possono essere a oggi studiati con una tecnica avanzata di ultrasuoni, l'elastografia.

L'elastografia è l'insieme di quelle tecniche con cui la rigidità del tessuto è stimata come una proprietà fisica definita modulo di Young (E). Il modulo di Young è una costante di proporzionalità che mette in relazione la forza applicata per unità di area o di stress e il conseguente cambiamento relativo nella dimensione del tessuto. I metodi di ecografia applicati a tale metodica possono essere suddivisi in due categorie: quasi-statici, o basati sulla deformazione, e dinamici, o basati sull'onda di taglio. La

U.O. Pneumologia Interventistica, Policlinico Sant'Orsola-Malpighi, IRCSS, A.O.U. di Bologna piero.candoli@aosp.bo.it

natura dello stimolo meccanico esterno applicato definisce questi metodi.

Nell'elastografia a deformazione, o strain-based elastography, la forza viene applicata mediante l'applicazione della pressione della sonda o mediante una forza meccanica endogena (per esempio, la pulsazione carotidea). Nell'elastografia basata sulle onde di taglio, o shear-wave based elastography, un'onda di taglio dei tessuti è indotta dal sistema di imaging. In entrambi gli approcci, la risposta del tessuto a questi stimoli meccanici è usata per stimare le proprietà meccaniche del tessuto stesso¹.

Quanto sopra descritto ha trovato negli anni applicazione anche nella Pneumologia Interventistica.

L'agoaspirazione transbronchiale sotto guida ecografica (EBUS-TBNA) si è evoluta da una procedura diagnostica a una procedura di stadiazione ed è ora raccomandata come procedura di stadiazione di prima linea nel tumore del polmone. Per una valutazione stadiativa accurata e completa, è imperativo che l'endoscopista ese-

gua una valutazione completa e sistematica dell'intero mediastino. Uno studio di Fujiwara e coll. aveva introdotto delle caratteristiche peculiari degli ultrasuoni in B-mode per lo studio dei linfonodi (forma rotonda, margini distinti, ecogenicità eterogenea, presenza di necrosi centrale) come marcatori predittivi indipendenti per la malignità degli stessi. Successivamente, tuttavia, Evison e coll. hanno dimostrato che l'ecogenicità eterogenea era l'unico segno di malignità. Diversi altri studi hanno trovato risultati discordanti nell'uso di queste caratteristiche ecografiche, con conseguente loro limitata applicazione.

Ulteriori strumenti come la strainbased elastography (SE) possono aiutare a prevedere la probabilità di malignità nei linfonodi mediastinici.

Nello studio esplorativo di Roel Verhoeven e coll.² è stato valutato quale potesse essere la strategia ottimale per lo studio del valore predittivo dell'ecobroncoscopia associata a SE (EBUS-SE) nella valutazione dei linfonodi mediastinici di pazienti con sospetta patologia neoplastica polmonare. In 120 linfonodi di 63 pazienti sono stati acquisiti due punteggi di deformazione visiva analogica qualitativa (VAS) e due misurazioni elastografiche di deformazione semiquantitativa (istogramma di deformazione, o strain histogram, e rapporto di deformazione, o strain ratio).

Il primo sistema VAS richiede all'operatore di classificare l'immagine in uno dei cinque seguenti gruppi in base alla com-

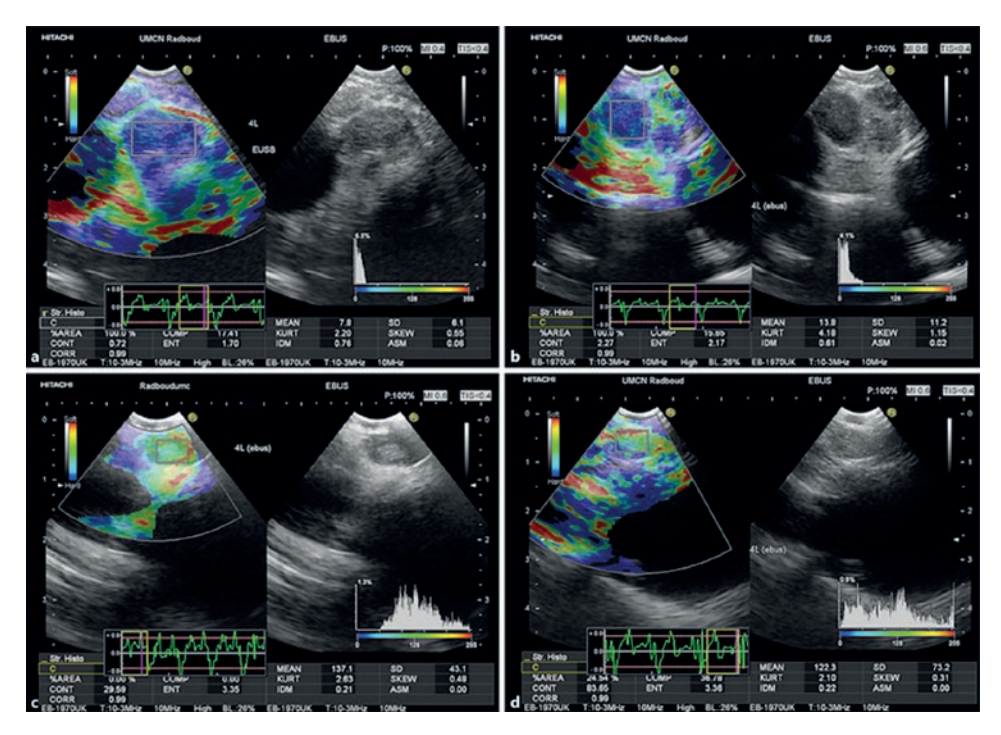


Figura 1. Esempi tipici di immagini di EBUS-SE dei linfonodi 4L con *software* Hitachi Real-Time Strain Elastography sul processore Preirus Hi Vision (Hitachi Corp. Tokyo, Giappone) in combinazione con l'endoscopio Pentax UB-1970UK (Pentax Medical, Tokyo, Giappone)².

ponente di colore principale; dalla più alta alla più bassa rigidità tessutale, rispettivamente, questi gruppi corrispondono a:

- 1) prevalentemente blu;
- 2) blu e verde;
- 3) prevalentemente verde;
- 4) verde e rosso;
- 5) prevalentemente rosso (Figura 1).

Il secondo metodo qualitativo di punteggio VAS utilizza una versione modificata del punteggio Tsukuba, un sistema di punteggio basato su una combinazione del colore visualizzato e del modello dell'immagine di deformazione; in questo caso, l'operatore classifica l'immagine EBUS-SE del linfonodo seguendo un sistema di classificazione in sei categorie (Figura 2).

Per il punteggio semiquantitativo di EBUS-SE, sono stati valutati due metodi di misurazione.

Il primo metodo di misura è la media dell'istogramma del SE; ciò richiede una selezione (rettangolo) di una regione linfonodale di interesse. Dopo la selezione, i valori di deformazione vengono calcolati dall'area selezionata e ritrasmessi all'operatore mediante un istogramma di conteggi (Figura 1).

Il secondo metodo di punteggio semiquantitativo è lo *strain ratio*: in questo caso, la regione di interesse del linfonodo selezionata con il metodo dell'istogramma è confrontata con un'area del tessuto di riferimento selezionata manualmente.

Illustrazione schematica	Immagine caratteristica	Classificazione standard	Punteggio
		La deformazione appare in tutta l'area ipoecogena (l'intera lesione è mostrata in verde simile al tessuto circostante)	1
		La deformazione appare nella maggior parte dell'area ipoecogena, ma alcune areee non mostrano alcuna deformazione (la lesione è un misto di rosso, verde e blu)	2
		La deformazione appare solo sul peri- metro, nessuna deformazione nel centro della lesione (il centro della lesione è blu, il perimetro è verde)	3
		Nessuna deformazione è rilevata all'in- terno della lesione (l'intera lesione è mo- strata in blu)	4
		Nessuna deformazione è rilevata all'in- terno della lesione né nei tessuti circo- stanti (la lesione e i tessuti circostanti sono blu)	5
	Service Service	Tipico artefatto visto quando i vasi sanguig- ni invadono il linfonodo. In rosso il centro del vaso circostante, in verde le prossimità	X

Figura 2. Sistema di classificazione del punteggio Tsukuba modificato, utilizzato per il punteggio VAS dei linfonodi in EBUS-SE².

I valori di *cut-off* di tutti e quattro i metodi di punteggio SE sono stati ottimizzati.

Per il sistema di punteggio VAS colore, i linfonodi classificati come "prevalentemente blu" o "blu e verde" sono stati raggruppati insieme come predittivi di malignità, mentre tutti gli altri gruppi come predittivi di esito benigno.

Il metodo di punteggio Tsukuba modificato si è rivelato migliore raggruppando i punteggi 4-5 come maligni e i punteggi 1-3 come benigni.

Per le misurazioni semiquantitative, l'analisi della curva ROC del metodo dell'istogramma ha mostrato che un valore medio di deformazione relativa minore di 78 (in un intervallo da 0 a 255, con un valore inferiore che rappresenta una minore deformazione) è più predittivo di malignità. Lo *strain ratio* invece era più predittivo per malignità quando la media di deformazione linfonodale divisa per la deformazione del tessuto di riferimento era superiore a 1,67.

Come conclusione dello studio esplorativo sopra descritto, si vide che l'EBUS-SE poteva essere una tecnica sensibile per aiutare a prevedere la malignità dei linfonodi nei pazienti con tumore ai polmoni. Si vide inoltre che il metodo di punteggio semiquantitativo dell'istogramma con un valore di *cut-off* pari a 78 (intervallo 0-255) mostrava le migliori, più obiettive e più riproducibili prestazioni nella previsione della malignità con una sensibilità complessiva del 93%, una specificità del 75%, un PPV del 69%, un NPV del 95% e una precisione dell'82%².

In uno studio multicentrico internazionale successivo denominato E-Predict³, è stato valutato se l'EBUS-SE può aiutare a predire autonomamente o in combinazione con le informazioni sulla dimensione e l'assorbimento dell'FDG la malignità dei linfonodi di pazienti con sospetto tumore del polmone. Per l'EBUS-SE fu usato un protocollo di misura standardizzato che utilizza la tecnica di punteggio dell'istogramma già descritta nello studio esplorativo di cui sopra². Le impostazioni del software EBUS-SE sono state aggiornate secondo i dati pubblicati in precedenza². Come parametro predittivo autonomo di malignità, è stato trovato che il più adatto valore medio di cut-off fosse 115 (range 0-255), con elevati sensibilità (90%) e NPV (82%) e con moderati specificità (43%) e PPV (60%). È stato rilevato che una dimensione linfonodale di 8 mm in combinazione con un valore medio di cut-off di 115 stratificherebbe meglio il rischio di malignità. In tutti gli scenari in cui la PET-FDG e le dimensioni linfonodali sono state combinate, l'EBUS-SE ha aumentato o diminuito la probabilità di malignità rispettivamente nei casi di bassa ed elevata deformabilità³.

L'elastografia ha trovato applicazione anche nelle valutazioni transtoraciche percutanee.

Nello studio di G.P. Bandelli e coll.⁴, l'elastografia è stata impiegata per la valutazione dello pneumotorace. In presenza di *lung point*, il segnale colorato elastografico fluisce sul perimetro della linea pleurica, mentre lo pneumotorace è penetrato dagli echi e principalmente letto come tessuto "rigido" (blu): tale segno è stato chiamato *elasto-lung point* ed è stato in grado di confermare la diagnosi di pneumotorace in ogni paziente indagato (Figura 3)⁴.

Invece la shear-wave based elastography transtoracica è stata studiata nell'ambito della differenziazione delle masse subpleuriche e si è visto che può distinguere tra lesioni polmonari subpleuriche maligne e

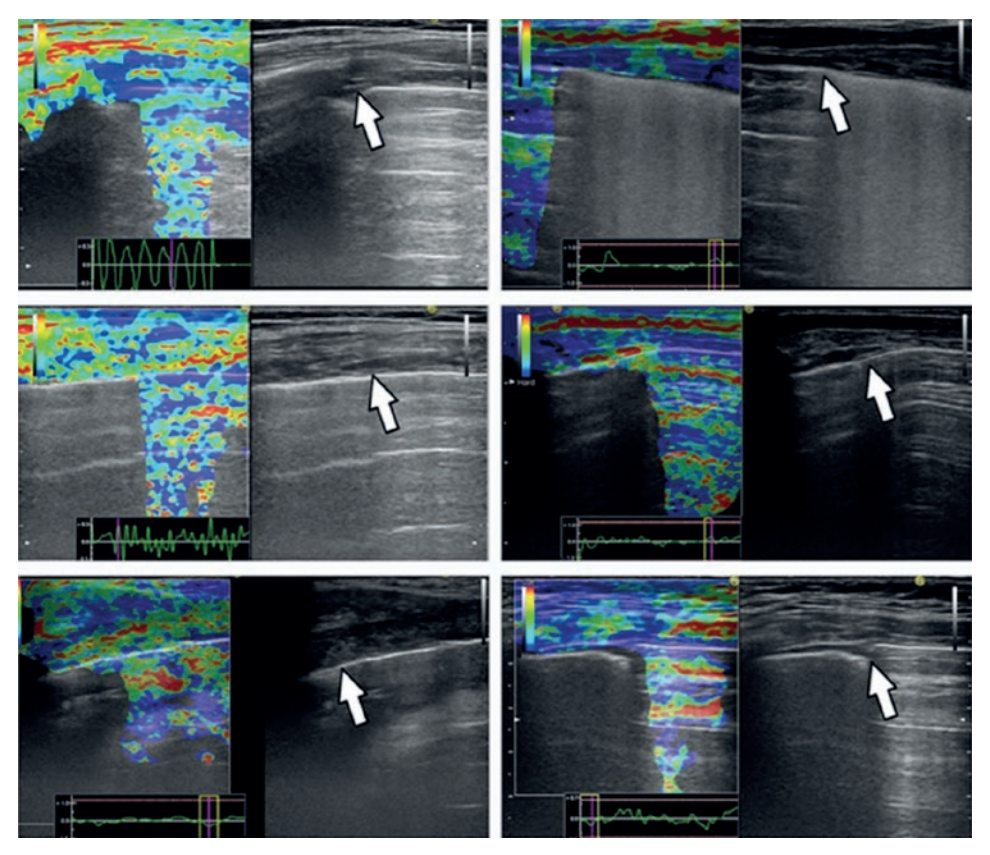


Figura 3. Elastografia con doppia vista (l'ecografia standard in B-mode è alla destra di ogni pannello). In questi sei esami separati (ogni pannello corrisponde a un paziente diverso), i *lung point* (frecce bianche) sono ulteriormente evidenziati dall'elastografia⁴.

benigne con grandi prestazioni diagnostiche⁵.

In conclusione, le applicazioni dell'elastografia in Pneumologia Interventistica possono essere plurime; l'augurio per gli operatori che operano in questo campo è che tale tecnologia diventi sempre più accessibile e standardizzata in modo tale da implementarne l'utilizzo e lo studio in ulteriori protocolli clinici.

Bibliografia

 OZTURK A, GRAJO JR, DHYANI M, ET AL. Principles of ultrasound elastography. Abdom Radiol (NY) 2018; 43:773-85.

- 2) VERHOEVEN RLJ, DE KORTE CL, VAN DER HEIJDEN EHFM. Optimal endobronchial ultrasound strain elastography assessment strategy: an explorative study. Respiration 2019;97:337-47.
- 3) Verhoeven RLJ, Trisolini R, Leoncini F, et Al. Predictive value of endobronchial ultrasound strain elastography in mediastinal lymph node staging: the E-Predict Multicenter Study results. Respiration 2020;99:484-92.
- 4) BANDELLI GP, LEVI G, MARCHETTI GP. "Elasto-lung point": a new tool for the sonographic confirmation of pneumothorax. Clin Respir J 2020;14:758-62.
- 5) LIU Y, ZHEN Y, ZHANG X, ET AL. Application of transthoracic shear wave elastography in evaluating subpleural pulmonary lesions. Eur J Radiol Open 2021;8:100364.